

# Imagerie des hyperthyroïdies iodo-induites: EchoDoppler

Herve Monpeyssen

	Hyper Type 1
Mécanismes	I <sup>-</sup> « carburant »
Thyropathie	Goitre/TAI/ autonome
Anticorps	+/-
Terrain	Homme- Carence iodée
Fixation I <sup>123</sup>	Variable-présente
Traitements médicaux	ATS +/- ClO <sub>4</sub> K
Echo mode B	Selon thyropathie
Echodoppler	Pattern + à +++
Doppler pulsé	LSN à élevées

	Hyper Type 1	Hyper Type2
Mécanismes	I <sup>-</sup> « carburant »	Iodo-toxique
Thyropathie	Goitre/TAI/ autonome	non
Anticorps	+/-	non
Terrain	Homme- Carence iodée	
Fixation I <sup>123</sup>	Variable-présente	~ 0
Traitements médicaux	ATS +/- ClO <sub>4</sub> K	Corticoïdes (ou rien)
Echo mode B	Selon thyropathie	Hypoéchogène homogène
Echodoppler	Pattern + à +++	avasculaire
Doppler pulsé	LSN à élevées	Non accélérée

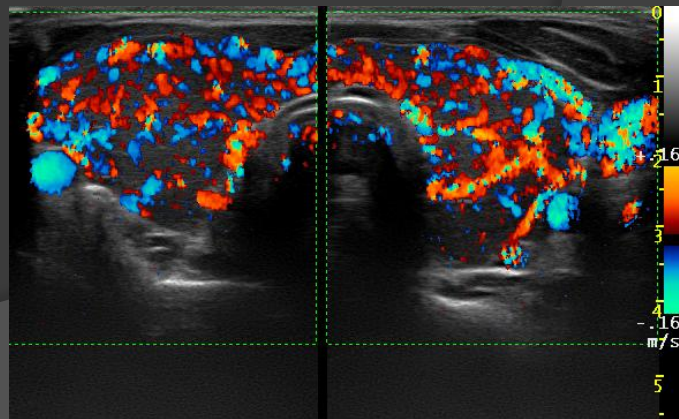
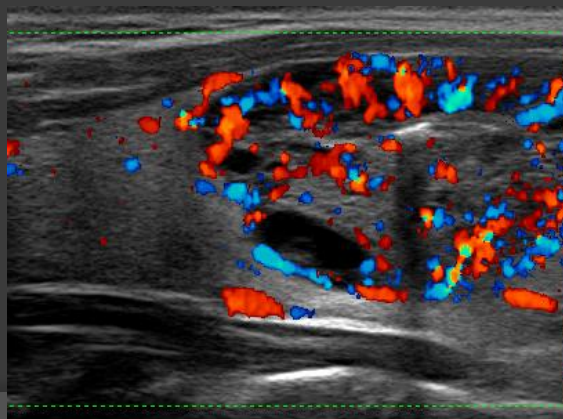
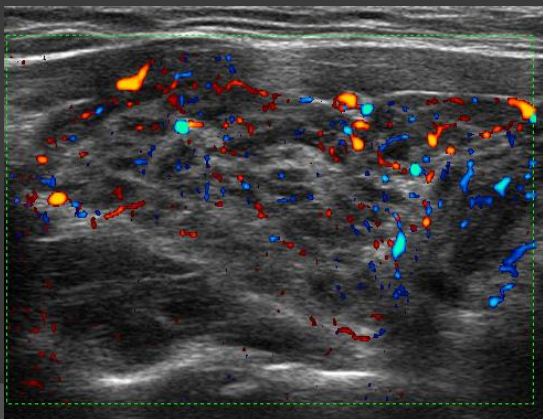
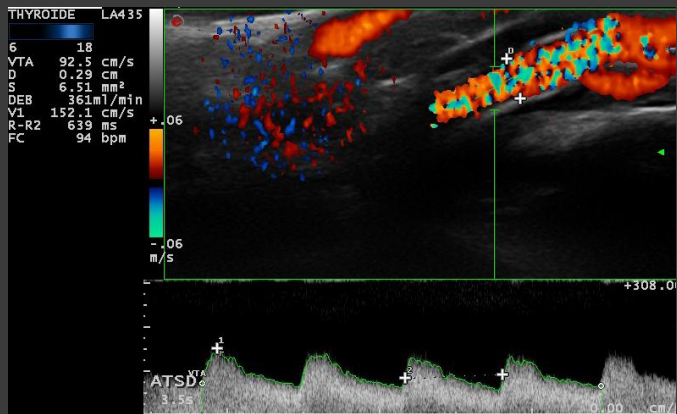
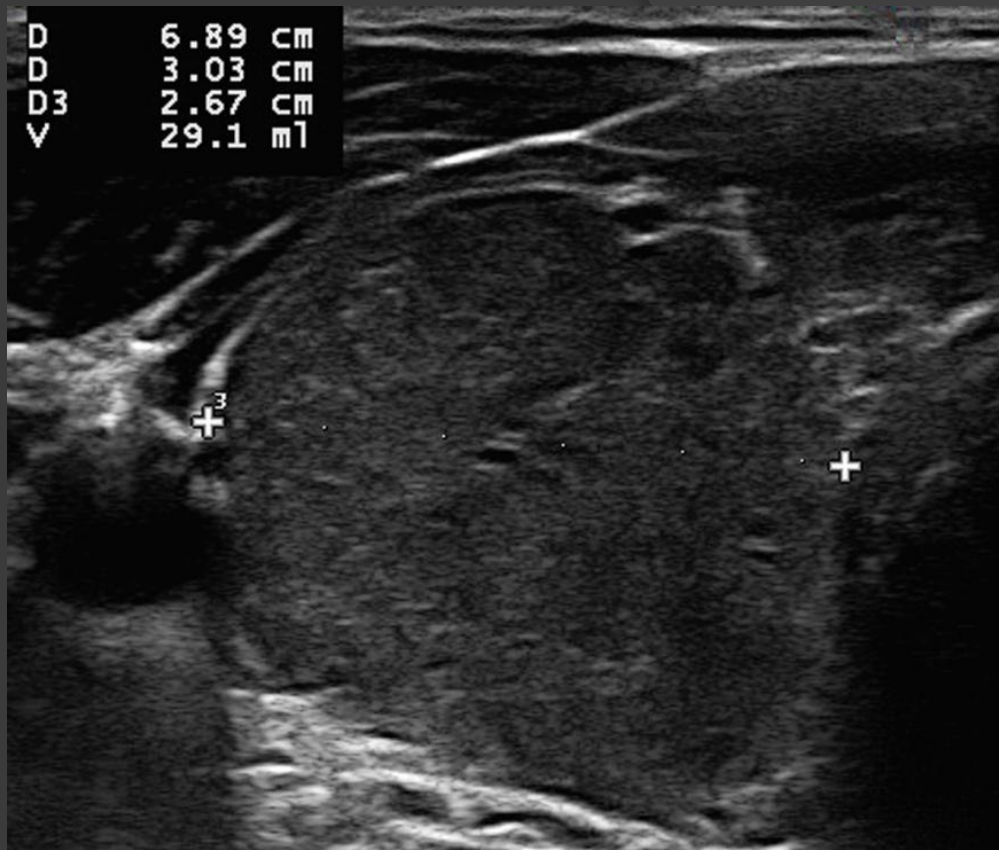
	Hyper Type 1	Hyper Type 2	Hyper Type 3
Mécanismes	I <sup>-</sup> « carburant »	Iodo-toxique	Mixte
Thyropathie	Goitre/TAI/ autonome	non	oui
Anticorps	+/-	non	+/-
Terrain	Homme- Carence iodée		
Fixation I <sup>123</sup>	Variable-présente	~ 0	variable
Traitements médicaux	ATS +/- ClO <sub>4</sub> K	Corticoïdes (ou rien)	Corticoïdes + ATS
Echo mode B	Selon thyropathie	Hypoéchogène homogène	variable
Echodoppler	Pattern + à +++	avasculaire	variable
Doppler pulsé	LSN à élevées	Non accélérée	variable

# Publications (2)

- ◉ **Color flow Doppler Sonography rapidly differentiate type I and type II Amiodarone Induced Thyrotoxicosis**  
Bogazzi F. Thyroid 1997 Aug;7(4):541-545
- ◉ **Color-flow Doppler Sonography in the Differential Diagnosis and Management of Amiodarone-Induced Thyrotoxicosis**  
Low M. & al. Acta Radiologica 2007 (6)
- ◉ **Glucocorticoid response in AIT-T2 is predicted by thyroid Volume and serum free thyroid hormone concentration.**  
Bogazzi F. & al JCEM 2007-92
- ◉ **Amiodarone induced thyrotoxicosis. A review**  
Piga M Minerva endocrinologica 2008-33
- ◉ **Amiodarone-induced thyrotoxicosis: something new to refine the initial diagnosis**  
Tanda ML Eur J Endocrinol 2008-159
- ◉ **The usefulness of 99mTc-sestaMIBI thyroid scan in the differential diagnosis and management of amiodaronee induce thyrotoxicosis**  
Piga M Eur J Endocrinol 2008-159
- ◉ **Diagnosis and management of AIT: Similarities and differences between North American and European thyroidologists:**  
Tanda ML, Clinical Endocrinology 2008-69
- ◉ « ....CFDS was the procedure of choice in both region... »

# HII Type 1

Selon thyropathie initiale  
Vascularisation riche  
Vitesse et débits Nx ou >

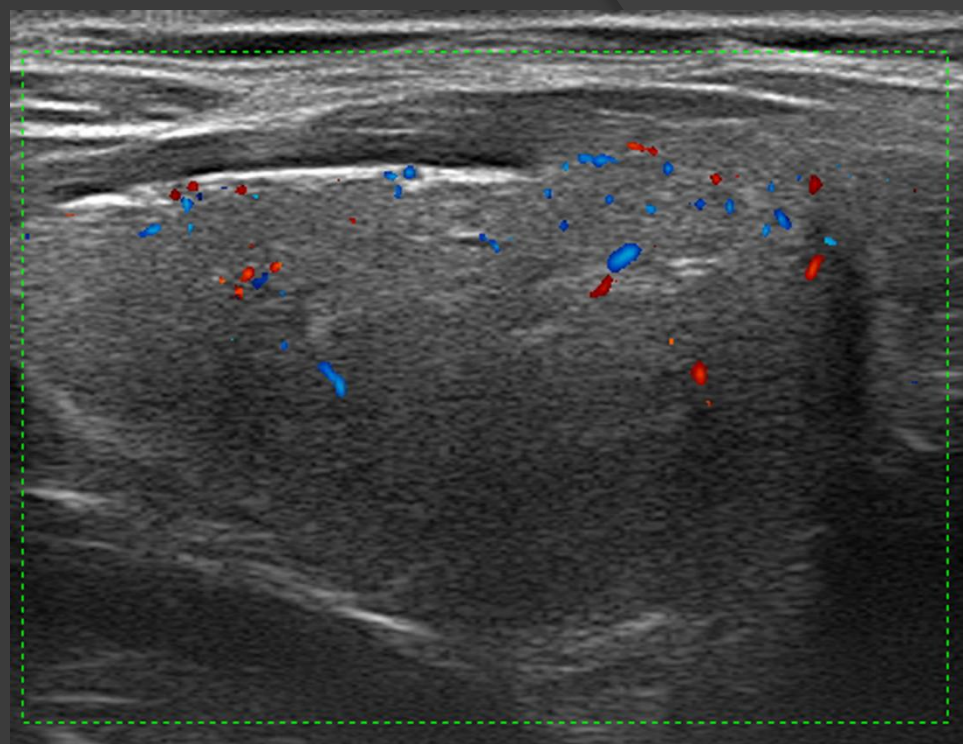


# HII type 2

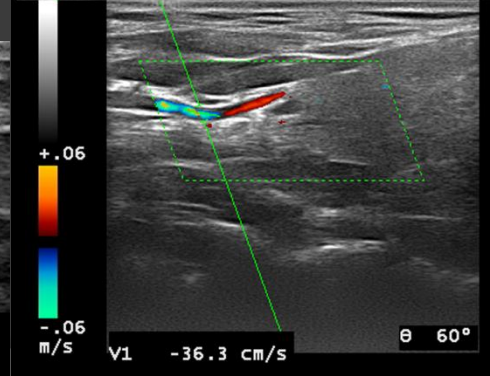
Parenchyme homogène  
hypoéchogène

« désert vasculaire »

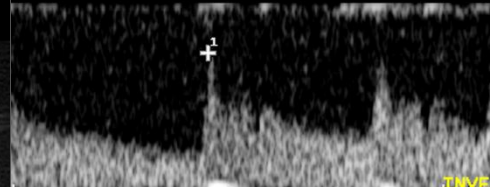
Vitesses non augmentées



CFM F 6.3 MHz G --- PW F 6.3 MHz  
PRF 1.0 KHZ PRS 6 PRF 2.0 KHZ  
PRC B/ 2 PRC 4  
FP 3 FP 65 HZ



5.06 cm  
2.34 cm  
2.06 cm  
12.8 ml



INVERSE